

1 Komplexe Zahlen Skript S. 1

1.1 Grundlagen Skript S. 1ff

Kartesische Form

Normalform: $z = z_1 + jz_2$

$z_1 = \operatorname{Re}(z)$, $z_2 = \operatorname{Im}(z)$

Umrechnung in Polar:

$$r = |z| = \sqrt{z_1^2 + z_2^2}, \quad \varphi = \begin{cases} \arctan\left(\frac{z_2}{z_1}\right) & z_1 \geq 0 \\ \arctan\left(\frac{z_2}{z_1}\right) + \pi & z_1 < 0 \end{cases}$$

Imaginäre Einheit: $j^2 = -1$ $e^{j\pi} = -1$ $\frac{1}{j} = -j$ $e^{j\frac{\pi}{2}} = j$ $j^j = e^{-\frac{\pi}{2} + 2k\pi}$

Polarsystem

Polarform: $z = r \operatorname{cjs}(\varphi) = r(\cos \varphi + j \sin \varphi) = re^{j\varphi}$

$\varphi = \arg(z)$

Umrechnung in Kartesisch:

$$z_1 = |z| \cos \varphi, \quad z_2 = |z| \sin \varphi$$

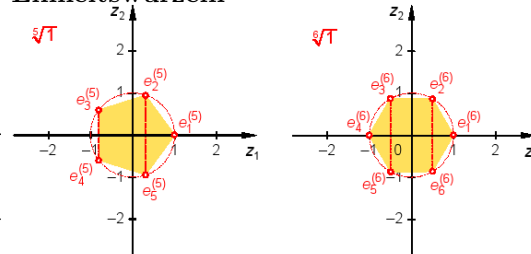
1.2 Rechenregeln Skript S. 10ff

$+, -$	Selbige Regeln wie für \mathbb{R}
Multiplikation	$a \cdot b = a b \operatorname{cjs}(\alpha + \beta) = a b e^{j(\alpha + \beta)}$ (kartesisch: $a_1 \cdot b_1 = (a_1 \cdot b_1 - a_2 \cdot b_2) + j \cdot (a_1 \cdot b_2 + a_2 \cdot b_1)$)
Division	$\frac{a}{b} = \frac{ a }{ b } \operatorname{cjs}(\alpha - \beta) = \frac{ a }{ b } e^{j(\alpha - \beta)}$ (kartesisch: Mit konj. komplex des Nenners erweitern)
Konjugiert komplex	$\bar{z} = \overline{z_1 + jz_2} = z_1 - jz_2$; $z \cdot \bar{z} = z ^2$
Wurzeln	$\sqrt[n]{a} = \sqrt[n]{ a } \operatorname{cjs}\left(\frac{\arg(a)}{n} + k \frac{2\pi}{n}\right) = \sqrt[n]{ a } e^{j\left(\frac{\alpha}{n} + k \frac{2\pi}{n}\right)}$ ($k = 0, 1, \dots, n-1 \Rightarrow n$ Lösungen in \mathbb{C} !)
Potenzen	$a^n = a ^n \operatorname{cjs}(n\alpha) = a ^n e^{jn\alpha}$
e^z	$e^{z_1 + jz_2} = e^{z_1} \operatorname{cjs}(z_2) = e^{z_1} (\cos z_2 + j \sin z_2)$; $ e^z = e^{z_1}$; $\arg(e^z) = z_2$
Moivre'sche Formel	$\operatorname{cjs}^n(\varphi) = (\cos \varphi + j \sin \varphi)^n = \cos(n\varphi) + j \sin(n\varphi)$ ($n \in \mathbb{N}$)
Logarithmus	$\operatorname{Ln}(z) = \ln z + j(\arg(z) + 2k\pi) = \ln a + j \arg(a)$ $a^b = e^{b \cdot \operatorname{Ln}(a)} \rightarrow$ (keine Potenzgesetze)
	$\frac{1}{\operatorname{cjs} \varphi} = \operatorname{cjs} -\varphi$

Bemerkungen

- $p_n(z)$ ($n \geq 1, z \in \mathbb{C}$) hat n Lösungen und Nullstellen (in \mathbb{C})
- Allgemeine Potenzen a^b , $a, b \in \mathbb{C}$ können mit $e^{b \cdot \operatorname{Ln}(a)}$ und den bekannten für \mathbb{R} gültigen Potenzregeln gelöst werden.
- $\operatorname{Re}\left(\frac{a}{b}\right) = 0$: Die beiden kompl. Zahlen a, b stehen senkrecht zueinander.

Einheitswurzeln



1.3 12. Einheitswurzeln $((k-1) \cdot 30^\circ)$

$$\begin{aligned} e_1^{(12)} &= 1, \quad e_2^{(12)} = \frac{\sqrt{3}}{2} + \frac{1}{2}j, \quad e_3^{(12)} = \frac{1}{2} + \frac{\sqrt{3}}{2}j, \quad e_4^{(12)} = j, \quad e_5^{(12)} = -\frac{1}{2} + \frac{\sqrt{3}}{2}j, \quad e_6^{(12)} = -\frac{\sqrt{3}}{2} + \frac{1}{2}j, \\ e_7^{(12)} &= -1, \quad e_8^{(12)} = -\frac{\sqrt{3}}{2} - \frac{1}{2}j, \quad e_9^{(12)} = -\frac{1}{2} - \frac{\sqrt{3}}{2}j, \quad e_{10}^{(12)} = -j, \quad e_{11}^{(12)} = \frac{1}{2} - \frac{\sqrt{3}}{2}j, \quad e_{12}^{(12)} = \frac{\sqrt{3}}{2} - \frac{1}{2}j \end{aligned}$$

1.4 Nullstellen von Polynomen

Ein komplexes Polynom $p(z)$ von Grad n hat in \mathbb{C} genau n Nullstellen.

Alle diese Nullstellen liegen in einer Kreisscheibe um den Ursprung mit dem Radius $r = \sum_{k=0}^n \left| \frac{a_k}{a_n} \right| = \left| \frac{a_0}{a_n} \right| + \left| \frac{a_1}{a_n} \right| + \dots + \left| \frac{a_n}{a_n} \right|$

Bei Polynomen mit reellen Koeffizienten treten nicht-reelle Nullstellen immer als konj.-kompl. Paare (z_0 und \bar{z}_0) auf.

Bei Polynomdivision immer mit reellen Zahlen arbeiten; konj.-kompl. Paare zusammenfassen.

Berechnung:

quadr. Polynome

$$p(z) = az^2 + bz + c = 0$$

$$z_{1,2} = \frac{-b \pm \sqrt{b^2 - 4ac}}{2a}$$

Polynome mit $a_n = 1, a_{n-1} = a_{n-2} = \dots = a_1 = 0, a_0 = a$

$$p(z) = z^n + a = 0$$

$$z_k = \sqrt[n]{|a|} \cdot \operatorname{cjs}\left(\frac{\varphi_a + \pi}{n} + (k-1) \cdot \frac{2\pi}{n}\right) \text{ mit } k = 1, 2, \dots, n$$

1.5 Euler Skript S. 30f

$\sin \alpha = \frac{e^{j\alpha} - e^{-j\alpha}}{2j}$	$\cos \alpha = \frac{e^{j\alpha} + e^{-j\alpha}}{2}$	$\tan \alpha = \frac{\sin \alpha}{\cos \alpha} = -j \frac{e^{j\alpha} - e^{-j\alpha}}{e^{j\alpha} + e^{-j\alpha}}$	$\sinh \alpha = \frac{e^{\alpha} - e^{-\alpha}}{2}$	$\cosh \alpha = \frac{e^{\alpha} + e^{-\alpha}}{2}$	$\tanh \alpha = \frac{\sinh \alpha}{\cosh \alpha}$
---	--	--	---	---	--

1.6 Überlagerung von harmonischen Schwingungen Skript S. 32f

$$A \cdot \sin(\omega t + \varphi) = \operatorname{Im}[A \cdot e^{j(\omega t + \varphi)}] = \operatorname{Im}\left[\underbrace{A \cdot e^{j\varphi}}_{\text{Complex Amplitude}} \cdot \underbrace{e^{j\omega t}}_{\text{Zeitfunktion}}\right]$$

$$A_1 \cdot \sin(\omega t + \varphi_1) + A_2 \cdot \cos(\omega t + \varphi_2) \Rightarrow \operatorname{Im}[A_1 \cdot e^{j(\omega t + \varphi_1)} + A_2 \cdot e^{j(\omega t + \varphi_2 + \frac{\pi}{2})}] \Rightarrow \operatorname{Im}[e^{j\omega t} \cdot (A_1 \cdot e^{j\varphi_1} + A_2 \cdot e^{j(\varphi_2 + \frac{\pi}{2})})]$$

Komplexe Amplituden in kartesische Form umwandeln, zusammenzählen und wieder zurück in Polarform wandeln.

$$\operatorname{Im}[e^{j\omega t} \cdot (A_{\text{total}} \cdot e^{j\varphi_{\text{total}}})] \Rightarrow \operatorname{Im}[A_{\text{total}} \cdot e^{j(\omega t + \varphi_{\text{total}})}] \Rightarrow A_{\text{total}} \cdot \sin(\omega t + \varphi_{\text{total}})$$

$$A = |A_1 \cdot e^{j\varphi_1} + A_2 \cdot e^{j\varphi_2}| \quad \varphi = \arg(A_1 \cdot e^{j\varphi_1} + A_2 \cdot e^{j\varphi_2})$$

2 Komplexe Funktionen (Abbildungen) Skript S. 37ff

Eine komplexe Funktion hat einen 2-Dimensionalen Input (z_1, z_2) und einen 2-Dimensionalen Output (w_1, w_2). Diese Abbildungen sind bis jeweils auf wenige Punkte (bei der Sinus-Funktion ± 1 , etc) winkeltreu.

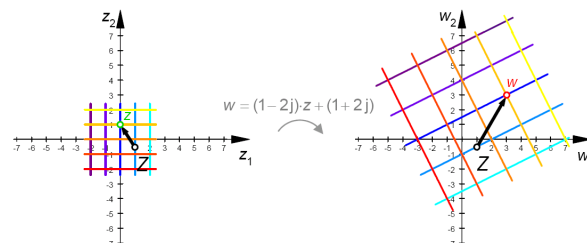
$$f: \mathbb{D} \subseteq \mathbb{C} \mapsto \mathbb{C} \quad z \mapsto w = f(z)$$

$$w_1 = \operatorname{Re}(f(r + jc)); w_2 = \operatorname{Im}(f(r + jc)) \quad f'(z) = 0 \text{ nicht winkeltreu!} \quad f'(z) \neq 0 \text{ winkeltreu!}$$

2.1 Lineare Funktion Skript S. 41ff

$$f: z \mapsto w = az + b \quad (a, b \in \mathbb{C} \text{ und } a \neq 0)$$

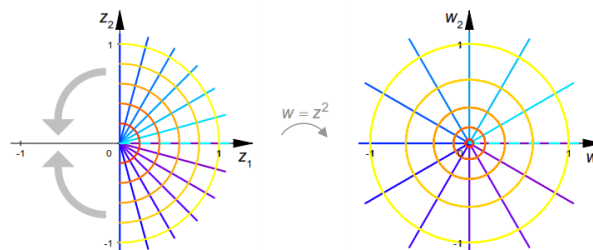
- für $a = 1$ eine Translation um den Ortsvektor b
- für $a \neq 1$ eine Drehstreckung mit dem Zentrum $\frac{b}{1-a}$, dem Drehwinkel $\arg(a)$ und dem Streckfaktor $|a|$.



2.2 Quadratfunktion und Quadratwurzelfunktion Skript S. 45ff

$$f: z \mapsto w = z^2 \quad f: z \mapsto w = \sqrt{z}$$

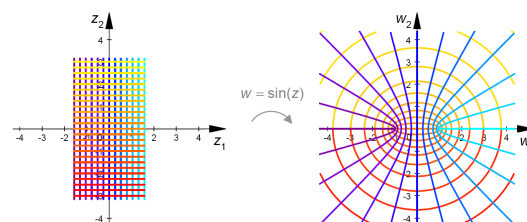
Bei der Quadratfunktion wird schon die rechte Hälfte der z -Ebene auf die ganze w -Ebene abgebildet (die Argumente werden verdoppelt). Mit der linken Hälfte zusammen ergeben sich zwei bzw. mehr Ebenen (Riemannsche Ebene). Sie ist überall Winkeltreu, ausser im Koordinatenursprung!



2.3 Sinus-Funktion Skript S. 67f

$$f: z \mapsto w = \sin(z)$$

Die Sinusfunktion ist ausser bei den Punkten $z = \frac{\pi}{2} + k\pi (k \in \mathbb{Z})$ winkeltreu

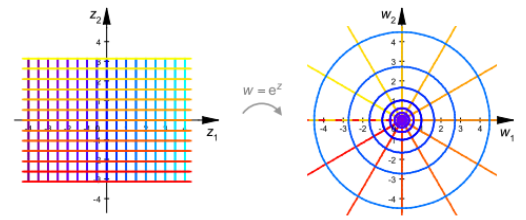


2.4 Exponentialfunktion Skript S. 64ff

$$f: z \mapsto w = e^z = e^{\operatorname{Re}(z)} \cdot \operatorname{cjs}(\operatorname{Im}(z))$$

Waagrechte Gitternetzlinien gehen gemäss der obigen Gleichung in Strahlen über, die im Koordinatenursprung beginnen, senkrechte Gitternetzlinien in Kreise um den Koordinatenursprung. Die e^z -Funktion ist periodisch, deshalb braucht es eine Riemannsche Fläche.

Mit dieser Funktion kann man das Feld an den Rändern des Plattenkondensators berechnen.



2.5 Kehrwertfunktion und Kreisspiegelung Skript S. 51ff

$$\underbrace{f: z \mapsto w = \frac{1}{z}; \quad (\arg(w) = -\arg(z), |w| = \frac{1}{|z|})}_{\text{Spiegelung an x-Achse (Kehrwert)}} \quad \underbrace{\bar{f}: z \mapsto w = \frac{1}{\bar{z}}; \quad (\arg(w) = \arg(z), |w| = \frac{1}{|z|})}_{\text{Kreisspiegelung}}$$

Kreisspiegelung: Alle Punkte auf der z -Ebene werden am Einheitskreis gespiegelt. Geraden auf Kreise abgebildet und umgekehrt. Der Ursprungspunkt $(0;0)$ wird auf ∞ abgebildet (auf allen Winkeln zwischen $0^\circ - 360^\circ$). Die Abbildungen sind im verallgemeinerten Sinn (Geraden sind Kreise mit unendlichem Radius) kreistreu. Ausserdem sind sie, bis auf den Koordinatenursprung, winkeltreu.

- Gerade durch 0 \implies Fixgerade (gleiche Gerade, aber die Punkte darauf sind anders verteilt)
- Gerade nicht durch 0 \implies Kreis durch 0
- Kreis nicht durch 0 \implies Spiegelung des Kreises am Einheitskreis
- Kreis durch 0 \implies Gerade nicht durch 0

Originalkurve	Bildkurve
$c=0, b=0$	
$c=0, b \neq 0$	
$c \neq 0, b=0$	
$c \neq 0, b \neq 0$	

2.6 Kreisgleichung

Die Lösungen von z bilden einen Kreis mit dem Radius r um den Mittelpunkt $M = (m_x, m_y) \Rightarrow m = m_x + jm_y$.

$$|z - m| = r; \quad (z - m)(\bar{z} - \bar{m}) = r^2; \quad z\bar{z} - \bar{m}z - m\bar{z} + m\bar{m} = r^2$$

$$\text{Parameterform: } f(t) = m + r \cdot e^{jt}, \quad \text{mit } (0 \leq t \leq 2\pi)$$

3 Fourierreihen Skript S. 70ff

3.1 Orthogonalitätsbeziehungen der Basisfunktionen Skript S. 75

$$\int_0^T \cos(n\omega t) \cdot \cos(m\omega t) dt = \begin{cases} T & \text{für } n = m = 0 \\ \frac{T}{2}, & \text{für } n = m > 0 \\ 0, & \text{für } n \neq m \end{cases} \quad \int_0^T \sin(n\omega t) \cdot \sin(m\omega t) dt = \begin{cases} \frac{T}{2}, & \text{für } n = m \\ 0, & \text{für } n \neq m \end{cases} \quad \int_0^T \cos(n\omega t) \cdot \sin(m\omega t) dt = 0$$

$(m, n \in \mathbf{N}_0)$
 $(m, n \in \mathbf{N})$
 $(m \in \mathbf{N}_0; n \in \mathbf{N})$

3.2 Allgemeine Form Skript S. 79

Eine periodische Funktion f mit Periode $T > 0$, lässt sich durch eine Reihe von Sinus- und Kosinusfunktionen darstellen, deren Frequenzen ganzzahlige Vielfache der Grundfrequenz $\omega = 2\pi/T$ sind:

$$FR[f(t)] = f(t) = \frac{a_0}{2} + \sum_{n=1}^{\infty} (a_n \cdot \cos(n\omega t) + b_n \cdot \sin(n\omega t))$$

Die Koeffizienten der Entwicklung von $f(t)$ sind:

$$a_n = \frac{2}{T} \int_0^T f(t) \cdot \cos(n\omega t) dt \quad (n = 0, 1, 2, 3, \dots) \quad b_n = \frac{2}{T} \int_0^T f(t) \cdot \sin(n\omega t) dt \quad (n = 1, 2, 3, \dots)$$

Der erste Summand der Reihe $a_0/2$ ist der Gleichstromanteil (Mittelwert) von $f(t)$ im Intervall $(0, T)$

$$a_0 = \frac{2}{T} \int_0^T f(t) dt \quad (n = 0)$$

3.3 Komplexwertige Darstellung der Fourierreihen Skript S. 95ff

$$f(t) = \sum_{k=-\infty}^{\infty} c_k \cdot e^{jk\omega t} \quad \text{mit} \quad c_n = \overline{c_{-n}} = \frac{1}{T} \int_0^T f(t) \cdot e^{-jn\omega t} dt \quad (n \in \mathbf{N}_0)$$

3.3.1 Umrechnungsformeln

$$c_n = \overline{c_{-n}} = \frac{a_n - jb_n}{2} \quad (n = 0, 1, 2, 3, \dots \text{ wobei } b_0 = 0) \quad \left. \begin{array}{l} a_n = 2\operatorname{Re}(c_n) = c_n + c_{-n} \\ b_n = -2\operatorname{Im}(c_n) = j(c_n - c_{-n}) \end{array} \right\} \quad \begin{array}{l} (n \in \mathbf{N}_0) \\ (n \in \mathbf{N}) \end{array}$$

$$c_0 = \frac{a_0}{2} \quad c_{-n} = \frac{a_n + jb_n}{2}$$

3.4 Sätze zur Berechnung der Koeffizienten Skript S. 80ff

3.4.1 Symmetrie Skript S. 78

Allgemein: gerade · ungerade = ungerade; ungerade · ungerade = gerade · gerade = gerade

$$\begin{array}{ll} \text{Falls } f(t) \text{ gerade } (f(-t) = f(t)) \text{ ist} & \implies b_n = 0, \quad a_n = \frac{4}{T} \int_0^{\frac{T}{2}} f(t) \cdot \cos(n\omega t) dt \quad \operatorname{Im}[c_n] = 0 \\ & \text{(achsensymmetrisch: Spiegelung an Y-Achse)} \\ & \text{wenn } f(t) \text{ gerade ist bezgl. } \frac{T}{4} \Rightarrow a_{2m+1} = 0 \\ & \text{wenn } f(t) \text{ ungerade ist bezgl. } \frac{T}{4} \Rightarrow a_{2m} = 0 \end{array}$$

$$\begin{array}{ll} \text{Falls } f(t) \text{ ungerade } (f(-t) = -f(t)) \text{ ist} & \implies a_n = 0, \quad b_n = \frac{4}{T} \int_0^{\frac{T}{2}} f(t) \cdot \sin(n\omega t) dt \quad \operatorname{Re}[c_n] = 0 \\ & \text{(punktsymmetrisch: Punktspiegelung im Ursprung)} \\ & \text{wenn } f(t) \text{ gerade ist bezgl. } \frac{T}{4} \Rightarrow b_{2m} = 0 \\ & \text{wenn } f(t) \text{ ungerade ist bezgl. } \frac{T}{4} \Rightarrow b_{2m+1} = 0 \end{array}$$

3.4.2 Linearität Skript S. 81

$$h(t) = r \cdot f(t) + s \cdot g(t) \implies a_n^{(h)} = r \cdot a_n^{(f)} + s \cdot a_n^{(g)}, \quad b_n^{(h)} = r \cdot b_n^{(f)} + s \cdot b_n^{(g)} \quad f, g \text{ und } h \text{ sind T-periodische Funktionen}$$

3.4.3 Zeitstreckung/-stauchung (Ähnlichkeit) Skript S. 82

$$g(t) = f(r \cdot t) \text{ (mit } 0 < r \in \mathbb{R}) \implies a_n^{(g)} = a_n^{(f)}, \quad b_n^{(g)} = b_n^{(f)} \quad T^{(g)} = \frac{T^{(f)}}{r} \quad \omega_g = \frac{2\pi}{T_g} \quad r < 1 : \text{Streckung}; r > 1 : \text{Stauchung}$$

3.4.4 Zeitverschiebung Skript S. 84

$$\begin{array}{llll} g(t) = f(t + t_0) & \begin{array}{l} a_n^{(g)} = \cos(n\omega t_0) \cdot a_n^{(f)} + \sin(n\omega t_0) \cdot b_n^{(f)} \\ b_n^{(g)} = -\sin(n\omega t_0) \cdot a_n^{(f)} + \cos(n\omega t_0) \cdot b_n^{(f)} \\ c_k^{(g)} = e^{jk\omega t_0} \cdot c_k^{(f)} \end{array} & \begin{array}{l} (n = 0, 1, 2, \dots) \\ (n = 1, 2, 3, \dots) \\ (k \in \mathbb{Z}) \end{array} & \begin{array}{l} \text{mit } b_0 = 0 \\ \\ \end{array} \end{array} \quad \begin{array}{l} +t_0: \text{ links} \\ -t_0: \text{ rechts} \end{array}$$

3.5 Satz von Dirichlet Skript S. 89

Die Funktion $f(t)$ sei T -periodisch und stückweise stetig mit Limes, dann konvergiert ihre Fourierreihe gegen

$$FR[f(t_0)] = f(t_0) = \frac{f(t_{0-}) + f(t_{0+})}{2}$$

somit in die Mitte einer Sprungstelle oder dem Funktionswert selber.

3.6 Abstand f - g Skript S. 84

Abstand zweier T -periodischen, mit Limes stückweise stetigen Funktionen f und g .

$$\|f - g\| = \sqrt{\frac{2}{T} \int_0^T [f(t) - g(t)]^2 dt}$$

3.7 Praval'sche Gleichung Skript S. 97

$$\sum_{k=-\infty}^{\infty} |c_k|^2 = \frac{1}{T} \int_0^T T[f(t)]^2 dt$$

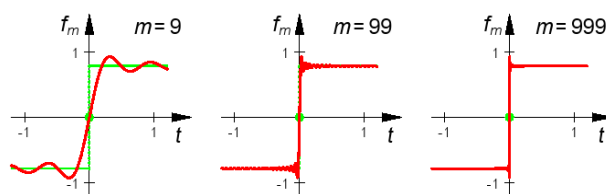
3.8 Integral und Differential Skript S. 88

Falls die T -periodische Funktion f (auf ganz \mathbb{R}) zweimal stetig differenzierbar ist und die Fourierkoeffizienten a_n und b_n besitzt, so gilt:

$$f'(t) = \sum_{n=1}^{\infty} [b_n n\omega \cdot \cos(n\omega t) - a_n n\omega \cdot \sin(n\omega t)] \quad \int_0^t f(\tau) d\tau = \sum_{n=1}^{\infty} \left[\frac{b_n}{n\omega} \right] + \frac{a_0}{2} t + \sum_{n=1}^{\infty} \left[\frac{a_n}{n\omega} \cdot \sin(n\omega t) - \frac{b_n}{n\omega} \cdot \cos(n\omega t) \right]$$

3.9 Gibbs'sches Phänomen Skript S. 92f

Die Fourier-Reihen schwingen bei Unstetigkeitsstellen über. Die Höhe der grössten überschwingenden Welle beträgt 8.94% der gesamten Sprunghöhe.



4 Spektren Skript S. 103

4.1 Spektraldarstellungen Skript S. 103ff

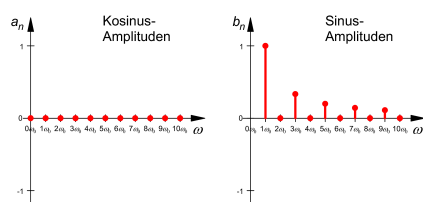


Abbildung 1: Kosinus- und Sinusamplitudendiagramm

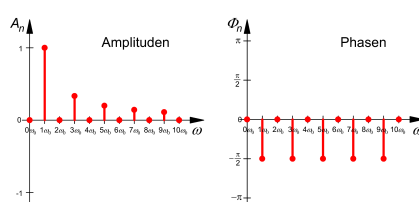


Abbildung 2: Einseitiges Amplituden-/Phasendiagramm

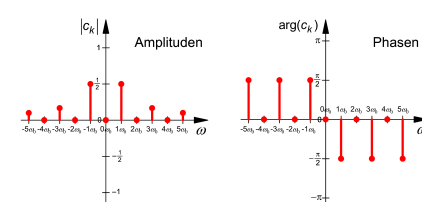


Abbildung 3: Zweiseitiges Amplituden-/Phasendiagramm

4.1.1 (1) Kosinus- und Sinusamplitudendiagramm

Reelle Fourierkoeffizienten (a_n, b_n) können direkt abgelesen werden. Bei einer Phasenverschiebung ändern sich jedoch die Koeffizienten grafisch nicht nachvollziehbar.

Diese Darstellung hat gegenüber den anderen mehr Nachteile und wird daher eher selten genutzt.

$$a_n = A_n \cdot \cos(\varphi_n) \quad b_n = -A_n \cdot \sin(\varphi_n) = A_n \sin(-\varphi_n)$$

4.1.2 (2) Einseitiges Amplituden-/Phasendiagramm

$$A_n = |a_n - j \cdot b_n| = \sqrt{a_n^2 + b_n^2} \quad \text{oder} \quad A_n = 2 \cdot |c_n| \quad \varphi_n = \arg(a_n - j \cdot b_n) \quad \text{oder} \quad \varphi_n = \arg(c_n)$$

$$\text{Spezialfall } n = 0 \Rightarrow A_0 = \left| \frac{a_0}{2} \right| \quad \text{und} \quad \varphi_0 = \begin{cases} 0, & a_0 \geq 0 \\ \pi, & a_0 < 0 \end{cases}$$

4.1.3 (3) Zweiseitiges Amplituden-/Phasendiagramm (komplexes Spektrum)

Amplitudendiagramm ist achsensymmetrisch wegen $c_n = \overline{c_{-n}}$. Phasendiagramm ist punktsymmetrisch.

Ähnlichkeit mit Einseitigem: $|c_n| = \frac{1}{2} A_k$ und $\arg(c_n) = \varphi_k$ für alle $n \geq 0$.

$$\arg(c_{-n}) = -\arg(c_n) \quad c_n = \frac{a_n - j b_n}{2} \quad \varphi_n = \arg(a_n - j b_n) \quad c_n = \frac{A_n}{2} \cdot e^{j\varphi_n}$$

4.2 Spezialfälle Skript S. 106

Funktion f gerade	(1) Sinusamplitudendiagramm überall 0 (2,3) Phasendiagramm enthält nur die Werte 0 und π
Funktion f ungerade	(1) Kosinusamplitudendiagramm überall 0 (2,3) Phasendiagramm enthält nur die Werte $\pm \frac{\pi}{2}$ (oder 0 falls Amplitudenwert = 0)
Ähnlichkeit $g(t) = f(r \cdot t)$	(1,2,3) Das Spektrum von g ist das horizontal mit den Faktor r gestreckte Spektrum vom f .
Zeitverschiebung $g(t) = f(t + t_0)$	(1) (siehe auch 3.4.4, Zeitverschiebung (S. 4)) (2,3) Amplitudendiagramme sind identisch. (2,3) Phasendiagramme: Die Säule der Frequenz $k\omega_0$ wächst um $k\omega_0 t_0$.
Weisses Rauschen	Überlagerung von Schwingungen aller möglichen Frequenzen mit gleichen Amplituden und zufälligen Phasen.

5 Wichtige Formeln

$$\sin^2(b) + \cos^2(b) = 1 \quad \tan(b) = \frac{\sin(b)}{\cos(b)}$$

5.1 Funktionswerte für Winkelargumente

deg	rad	sin	cos	tan	deg	rad	sin	cos	deg	rad	sin	cos	deg	rad	sin	cos
0°	0	0	1	0	90°	$\frac{\pi}{2}$	1	0	180°	π	0	-1	270°	$\frac{3\pi}{2}$	-1	0
30°	$\frac{\pi}{6}$	$\frac{1}{2}$	$\frac{\sqrt{3}}{2}$	$\frac{\sqrt{3}}{3}$	120°	$\frac{2\pi}{3}$	$\frac{\sqrt{3}}{2}$	$-\frac{1}{2}$	210°	$\frac{7\pi}{6}$	$-\frac{1}{2}$	$-\frac{\sqrt{3}}{2}$	300°	$\frac{5\pi}{3}$	$-\frac{\sqrt{3}}{2}$	$\frac{1}{2}$
45°	$\frac{\pi}{4}$	$\frac{\sqrt{2}}{2}$	$\frac{\sqrt{2}}{2}$	1	135°	$\frac{3\pi}{4}$	$\frac{\sqrt{2}}{2}$	$-\frac{\sqrt{2}}{2}$	225°	$\frac{5\pi}{4}$	$-\frac{\sqrt{2}}{2}$	$-\frac{\sqrt{2}}{2}$	315°	$\frac{7\pi}{4}$	$-\frac{\sqrt{2}}{2}$	$\frac{\sqrt{2}}{2}$
60°	$\frac{\pi}{3}$	$\frac{\sqrt{3}}{2}$	$\frac{1}{2}$	$\sqrt{3}$	150°	$\frac{5\pi}{6}$	$\frac{1}{2}$	$-\frac{\sqrt{3}}{2}$	240°	$\frac{4\pi}{3}$	$-\frac{\sqrt{3}}{2}$	$-\frac{1}{2}$	330°	$\frac{11\pi}{6}$	$-\frac{1}{2}$	$\frac{\sqrt{3}}{2}$

$$\tan^{-1}: \text{wenn } x > 1 \text{ dann gilt: } \tan^{-1}(x) = \frac{\pi}{2} - \tan^{-1}\left(\frac{1}{x}\right)$$

5.2 Periodizität

$$\cos(a + k \cdot 2\pi) = \cos(a) \quad \sin(a + k \cdot 2\pi) = \sin(a) \quad (k \in \mathbb{Z})$$

5.3 Quadrantenbeziehungen

$$\begin{aligned} \sin(-a) &= -\sin(a) & \cos(-a) &= \cos(a) \\ \sin(\pi - a) &= \sin(a) & \cos(\pi - a) &= -\cos(a) \\ \sin(\pi + a) &= -\sin(a) & \cos(\pi + a) &= -\cos(a) \\ \sin\left(\frac{\pi}{2} - a\right) &= \cos\left(\frac{\pi}{2} + a\right) & \cos\left(\frac{\pi}{2} - a\right) &= \sin\left(\frac{\pi}{2} + a\right) \end{aligned}$$

5.4 Additionstheoreme

$$\begin{aligned}\sin(a \pm b) &= \sin(a) \cdot \cos(b) \pm \cos(a) \cdot \sin(b) \\ \cos(a \pm b) &= \cos(a) \cdot \cos(b) \mp \sin(a) \cdot \sin(b) \\ \tan(a \pm b) &= \frac{\tan(a) \pm \tan(b)}{1 \mp \tan(a) \cdot \tan(b)}\end{aligned}$$

5.5 Doppel- und Halbwinkel

$$\begin{aligned}\sin(2a) &= 2 \sin(a) \cos(a) \\ \cos(2a) &= \cos^2(a) - \sin^2(a) = 2 \cos^2(a) - 1 = 1 - 2 \sin^2(a) \\ \cos^2\left(\frac{a}{2}\right) &= \frac{1 + \cos(a)}{2} \quad \sin^2\left(\frac{a}{2}\right) = \frac{1 - \cos(a)}{2}\end{aligned}$$

5.6 Produkte

$$\begin{aligned}\sin(a) \sin(b) &= \frac{1}{2} (\cos(a - b) - \cos(a + b)) \\ \cos(a) \cos(b) &= \frac{1}{2} (\cos(a - b) + \cos(a + b)) \\ \sin(a) \cos(b) &= \frac{1}{2} (\sin(a - b) + \sin(a + b))\end{aligned}$$

5.7 Summe und Differenz

$$\begin{aligned}\sin(a) + \sin(b) &= 2 \cdot \sin\left(\frac{a+b}{2}\right) \cdot \cos\left(\frac{a-b}{2}\right) \\ \sin(a) - \sin(b) &= 2 \cdot \sin\left(\frac{a-b}{2}\right) \cdot \cos\left(\frac{a+b}{2}\right) \\ \cos(a) + \cos(b) &= 2 \cdot \cos\left(\frac{a+b}{2}\right) \cdot \cos\left(\frac{a-b}{2}\right) \\ \cos(a) - \cos(b) &= -2 \cdot \sin\left(\frac{a+b}{2}\right) \cdot \cos\left(\frac{a-b}{2}\right) \\ \tan(a) \pm \tan(b) &= \frac{\sin(a \pm b)}{\cos(a) \cos(b)}\end{aligned}$$

5.8 Skalarprodukt

	Reelle Fourierreihe	Komplexe Fourierreihe
Skalarprodukt	$\langle f; g \rangle = \frac{2}{T} \int_0^T f(t) \cdot g(t) \cdot dt$ (I) $\langle f; f \rangle > 0$ für $f \neq 0$ (II) $\langle f; g \rangle = \langle g; f \rangle$ (III) $\langle r \cdot f; g \rangle = r \cdot \langle f; g \rangle$, $r \in \mathbb{R}$	$\langle f; g \rangle = \frac{1}{T} \int_0^T f(t) \cdot \overline{g(t)} \cdot dt$ (I) $\langle f; f \rangle > 0$ für $f \neq 0$ (II) $\langle f; g \rangle = \overline{\langle g; f \rangle}$ (III) $\langle c \cdot f; g \rangle = c \cdot \langle f; g \rangle$, $c \in \mathbb{C}$
Länge (Norm):	$\ f\ = \sqrt{\langle f; f \rangle} \Rightarrow y = 3x^2 + 4 \rightarrow \sqrt{3 \cdot 3 + 4 \cdot 4} = 5$ (I) $\ f\ > 0$ für $f \neq 0$ (II) $\ f + g\ \leq \ f\ + \ g\ $ (Dreiecksungleichung) (III) $\ r \cdot f\ = r \cdot \ f\ $, $r \in \mathbb{R}$ bzw. $\ c \cdot f\ = c \cdot \ f\ $, $c \in \mathbb{C}$	
Abstand:	$\ f - g\ = \sqrt{ \langle f - g; f - g \rangle } \Rightarrow p - q = \sqrt{(3x^2 + 4) - (x^2 + 7)} = \sqrt{2x^2 + 11} \rightarrow \sqrt{2 \cdot 2 + 11 \cdot 11} = 5 \cdot \sqrt{5}$	
Winkel, Orthogonalität	$\angle(f; g) = \arccos\left(\frac{\langle f; g \rangle}{\ f\ \cdot \ g\ }\right) = \arccos\left(\frac{\langle f; g \rangle}{\sqrt{\langle f; f \rangle \cdot \langle g; g \rangle}}\right)$ $f \perp g \Leftrightarrow \langle f; g \rangle = 0$	

6 Diverses

$$\begin{aligned}f'(z) &= \lim_{\Delta z \rightarrow 0} \frac{f(z + \Delta z) - f(z)}{\Delta z} & (a + b)^n &= \sum_{k=0}^n \binom{n}{k} a^{n-k} \cdot b^k & (a \pm b)^3 &= a^3 \pm 3a^2b + 3ab^2 \pm b^3 \\ x_{1,2} &= \frac{-b \pm \sqrt{b^2 - 4ac}}{2a} & \binom{n}{k} &= \frac{n!}{k! \cdot (n-k)!} & (a \pm b)^4 &= a^4 \pm 4a^3b + 6a^2b^2 \pm 4ab^3 + b^4\end{aligned}$$

6.1 Integrale

Partielle Integration: $\int_a^b u(x) v'(x) dx = [u(x) v(x)]_a^b - \int_a^b u'(x) v(x) dx$

1. $\int dx = x + C$	22. $\int \frac{dx}{\sqrt{b^2 - a^2 x^2}} = \frac{1}{a} \arcsin \frac{a}{b} x + C, \quad a \neq 0, \quad b \neq 0, \quad a^2 x^2 < b^2$
2. $\int x^\alpha dx = \frac{x^{\alpha+1}}{\alpha+1} + C, \quad x \in \mathbb{R}^+, \quad \alpha \in \mathbb{R} \setminus \{-1\}$	23. Die Integrale $\int \frac{dx}{X}, \int \sqrt{X} dx, \int \frac{dx}{\sqrt{X}}$ mit $X = ax^2 + 2bx + c, \quad a \neq 0$ werden durch die Umformung $X = a\left(x + \frac{b}{a}\right)^2 + \left(c - \frac{b^2}{a}\right)$ und die Substitution $t = x + \frac{b}{a}$ in die Integrale 15. bis 22. transformiert.
3. $\int \frac{1}{x} dx = \ln x + C, \quad x \neq 0$	24. $\int \frac{x dx}{X} = \frac{1}{2a} \ln X - \frac{b}{a} \int \frac{dx}{X}, \quad a \neq 0, \quad X = ax^2 + 2bx + c$
4. $\int e^x dx = e^x + C$	25. $\int \sin^2 ax dx = \frac{x}{2} - \frac{1}{4a} \sin 2ax + C, \quad a \neq 0$
5. $\int a^x dx = \frac{a^x}{\ln a} + C, \quad a \in \mathbb{R}^+ \setminus \{1\}$	26. $\int \cos^2 ax dx = \frac{x}{2} + \frac{1}{4a} \sin 2ax + C, \quad a \neq 0$
6. $\int \sin x dx = -\cos x + C$	27. $\int \sin^n ax dx = -\frac{\sin^{n-1} ax \cdot \cos ax}{na} + \frac{n-1}{n} \int \sin^{n-2} ax dx, \quad n \in \mathbb{N}, \quad a \neq 0$
7. $\int \cos x dx = \sin x + C$	28. $\int \cos^n ax dx = \frac{\cos^{n-1} ax \cdot \sin ax}{na} + \frac{n-1}{n} \int \cos^{n-2} ax dx, \quad n \in \mathbb{N}, \quad a \neq 0$
8. $\int \frac{dx}{\sin^2 x} = -\cot x + C, \quad x \neq k\pi \text{ mit } k \in \mathbb{Z}$	29. $\int \frac{dx}{\sin ax} = \frac{1}{a} \ln \left \tan \frac{ax}{2} \right + C, \quad a \neq 0, \quad x \neq k \frac{\pi}{a} \text{ mit } k \in \mathbb{Z}$
9. $\int \frac{dx}{\cos^2 x} = \tan x + C, \quad x \neq \frac{\pi}{2} + k\pi \text{ mit } k \in \mathbb{Z}$	30. $\int \frac{dx}{\cos ax} = \frac{1}{a} \ln \left \tan \left(\frac{ax}{2} + \frac{\pi}{4} \right) \right + C, \quad a \neq 0, \quad x \neq \frac{\pi}{2a} + k \frac{\pi}{a} \text{ mit } k \in \mathbb{Z}$
10. $\int \sinh x dx = \cosh x + C$	31. $\int \tan ax dx = -\frac{1}{a} \ln \cos ax + C, \quad a \neq 0, \quad x \neq \frac{\pi}{2a} + k \frac{\pi}{a} \text{ mit } k \in \mathbb{Z}$
11. $\int \cosh x dx = \sinh x + C$	32. $\int \cot ax dx = \frac{1}{a} \ln \sin ax + C, \quad a \neq 0, \quad x \neq k \frac{\pi}{a} \text{ mit } k \in \mathbb{Z}$
12. $\int \frac{dx}{\sinh^2 x} = -\coth x + C, \quad x \neq 0$	33. $\int x^n \sin ax dx = -\frac{x^n}{a} \cos ax + \frac{n}{a} \int x^{n-1} \cos ax dx, \quad n \in \mathbb{N}, \quad a \neq 0$
13. $\int \frac{dx}{\cosh^2 x} = \tanh x + C$	34. $\int x^n \cos ax dx = \frac{x^n}{a} \sin ax - \frac{n}{a} \int x^{n-1} \sin ax dx, \quad n \in \mathbb{N}, \quad a \neq 0$
14. $\int \frac{dx}{ax+b} = \frac{1}{a} \ln ax+b + C, \quad a \neq 0, \quad x \neq -\frac{b}{a}$	35. $\int x^n e^{ax} dx = \frac{1}{a} x^n e^{ax} - \frac{n}{a} \int x^{n-1} e^{ax} dx, \quad n \in \mathbb{N}, \quad a \neq 0$
15. $\int \frac{dx}{a^2 x^2 + b^2} = \frac{1}{ab} \arctan \frac{a}{b} x + C, \quad a \neq 0, \quad b \neq 0$	36. $\int e^{ax} \sin bx dx = \frac{e^{ax}}{a^2 + b^2} (a \sin bx - b \cos bx) + C, \quad a \neq 0, \quad b \neq 0$
16. $\int \frac{dx}{a^2 x^2 - b^2} = \frac{1}{2ab} \ln \left \frac{ax-b}{ax+b} \right + C, \quad a \neq 0, \quad b \neq 0, \quad x \neq \pm \frac{b}{a}$	37. $\int e^{ax} \cos bx dx = \frac{e^{ax}}{a^2 + b^2} (a \cos bx + b \sin bx) + C, \quad a \neq 0, \quad b \neq 0$
17. $\int \sqrt{a^2 x^2 + b^2} dx = \frac{x}{2} \sqrt{a^2 x^2 + b^2} + \frac{b^2}{2a} \ln(ax + \sqrt{a^2 x^2 + b^2}) + C, \quad a \neq 0, \quad b \neq 0$	38. $\int \ln x dx = x(\ln x - 1) + C, \quad x \in \mathbb{R}^+$
18. $\int \sqrt{a^2 x^2 - b^2} dx = \frac{x}{2} \sqrt{a^2 x^2 - b^2} - \frac{b^2}{2a} \ln ax + \sqrt{a^2 x^2 - b^2} + C, \quad a \neq 0, \quad b \neq 0, \quad a^2 x^2 \geq b^2$	39. $\int x^\alpha \cdot \ln x dx = \frac{x^{\alpha+1}}{(\alpha+1)^2} \left[\left(\alpha + \frac{1}{2} \right) \ln x - 1 \right] + C, \quad x \in \mathbb{R}^+, \alpha \in \mathbb{R} \setminus \{-1\}$
19. $\int \sqrt{b^2 - a^2 x^2} dx = \frac{x}{2} \sqrt{b^2 - a^2 x^2} + \frac{b^2}{2a} \arcsin \frac{a}{b} x + C, \quad a \neq 0, \quad b \neq 0, \quad a^2 x^2 \leq b^2$	
20. $\int \frac{dx}{\sqrt{a^2 x^2 + b^2}} = \frac{1}{a} \ln(ax + \sqrt{a^2 x^2 + b^2}) + C, \quad a \neq 0, \quad b \neq 0$	
21. $\int \frac{dx}{\sqrt{a^2 x^2 - b^2}} = \frac{1}{a} \ln ax + \sqrt{a^2 x^2 - b^2} + C, \quad a \neq 0, \quad b \neq 0, \quad a^2 x^2 > b^2$	